

## การทดสอบเครื่องวิเคราะห์วงจรแบบคิจhol

### 5.1 บทนำ

เราได้กล่าวถึงการออกแบบและการทดสอบวงจรในส่วนที่ ๔ ของแผนภาพของเครื่องวิเคราะห์วงจรแบบคิจholที่แสดงในรูปที่ 2.3 เมื่อเราลงจาระแล้วนี่มาประกอบกันเข้าเป็นเครื่องวิเคราะห์แบบคิจholแล้วเราจะทดสอบการทำงานของเครื่องฯ

เราจะทำการทดสอบคุณสมบัติโดยทั่วไปของเครื่องฯรวมทั้งหาความแม่นยำของเครื่องฯ หลังจากนั้นจะทดลองใช้เครื่องฯ ไปวิเคราะห์วงจรจริงๆ ผลของการทดสอบจะได้กล่าวในหัวข้อที่ ๕ ท่อไป

### 5.2 การทดสอบเบื้องต้น

ในการทดสอบนี้เราจะทำการทดสอบเครื่องวิเคราะห์วงจรแบบคิจholของกรณีที่ ๑ วัสดุสัญญาณสองอันที่มีความแตกต่างมุมเป็นศูนย์ และ ๑๘๐ องศาที่ความถี่ที่ ๗๖๗ ๗

5.2.1 วัสดุสัญญาณที่มีความแตกต่างมุมเป็นศูนย์ของค่าในการทดสอบนี้เราจะเอาปลายทั้งสองของเครื่องวิเคราะห์วงจรแบบคิจholทอกับสัญญาณอันเดียวกันที่ความถี่ที่ ๗๖๗ ๗ ผลการทดสอบแสดงในตารางที่ ๕.๑ จากผลการทดสอบจะเห็นได้ว่าอัตราขยายผิดพลาดสูงสุด ๑.๑๘ เปอร์เซนต์ ที่ความถี่ ๒๐๐ เฮิรต ส่วนมุมผิดพลาดสูงสุด ๑.๗ องศาที่ความถี่ ๑๐ กิโลเฮิรต

5.2.2 วัสดุสัญญาณที่มีความแตกต่างมุมเป็น ๑๘๐ องศา ใน การทดสอบนี้เราจะวัดสัญญาณขาเข้าและออกของวงจรอินเวอร์ทิ้ง แอมป์ขยายเสียงที่มีอัตราขยายต่ำๆ คั่งแสดงในรูปที่ ๕.๑ โดยปกติที่ความถี่ที่ ๗๖๗ ๗ สัญญาณขาเข้าและออกของวงจรอินเวอร์ทิ้งแอมป์ขยายเสียงจะมีมุมทางกันประมาณ ๑๘๐ องศา จากผลการทดสอบซึ่งแสดงในตารางที่ ๕.๒ จะเห็นได้ว่าผลการวัดให้ความแตกต่างมุมที่ความถี่ของสัญญาณต่ำประมาณ ๑๘๐ องศา และจะมากกว่า ๑๘๐ องศาเล็กน้อยที่ความถี่สูงขึ้นซึ่งอาจเกิดจากผลของวงจรอินเวอร์ทิ้ง

ตารางที่ 5.1\*

การทดสอบโดยป้อนสัญญาณสองอันที่มีความตื้น, ขนาดและมุมเท่ากัน

| ความถี่<br>(ເຊົາທ) | ความแตกต่างของນ (องศา) |          |          |          | อัตราขยาย(เท่า) |         |         |         | อัตราขยาย(ເຄີຍເບີດ) |          |          |          |
|--------------------|------------------------|----------|----------|----------|-----------------|---------|---------|---------|---------------------|----------|----------|----------|
|                    | ครองท 1                | ครองท 2  | ครองท 3  | ເລື່ອຍ   | ครองท 1         | ครองท 2 | ครองท 3 | ເລື່ອຍ  | ครองท 1             | ครองท 2  | ครองท 3  | ເລື່ອຍ   |
| 20                 | 359.6544               | 359.5268 | 359.6814 | 359.6209 | 1.00054         | 1.00688 | 1.00095 | 1.00279 | 0.00469             | 0.05955  | 0.00825  | 0.02416  |
| 50                 | 359.8216               | 359.8813 | 359.8060 | 359.8363 | 0.99777         | 0.99777 | 1.00484 | 1.00013 | -0.01939            | -0.01939 | 0.00113  | -0.01255 |
| 100                | 359.7577               | 359.7079 | 359.7867 | 359.7514 | 0.99872         | 0.99912 | 1.00733 | 1.00172 | -0.01113            | -0.00765 | 0.01493  | 0.00128  |
| 200                | 359.6154               | 359.6632 | 359.9718 | 359.7501 | 1.01852         | 0.99980 | 1.01700 | 1.01177 | 0.15939             | -0.00174 | 0.14642  | -0.10136 |
| 500                | 359.9506               | 359.9718 | 359.9718 | 359.9647 | 1.01432         | 0.99862 | 0.99881 | 1.00382 | 0.12349             | -0.01199 | 0.03312  | 0.14462  |
| 1000               | 1.1408                 | 1.1406   | 1.1479   | 359.1431 | 1.00645         | 1.00589 | 1.00673 | 1.00421 | 0.05584             | 0.05101  | 0.03649  | 0.04778  |
| 2000               | 0.7602                 | 0.7602   | 0.8041   | 0.7748   | 0.99355         | 1.00544 | 0.99463 | 0.99787 | -0.05621            | 0.04712  | -0.04677 | -0.01862 |
| 5000               | 360.0356               | 360.00   | 360.00   | 360.6667 | 0.99057         | 1.00235 | 0.98923 | 0.99405 | -0.08229            | 0.02039  | -0.09405 | -0.05158 |
| 10000              | 358.2666               | 358.4242 | 358.3457 | 358.3455 | 1.00623         | 0.98905 | 0.99477 | 0.99668 | 0.05395             | -0.09564 | -0.02889 | -0.02353 |



ตารางที่ 5.2

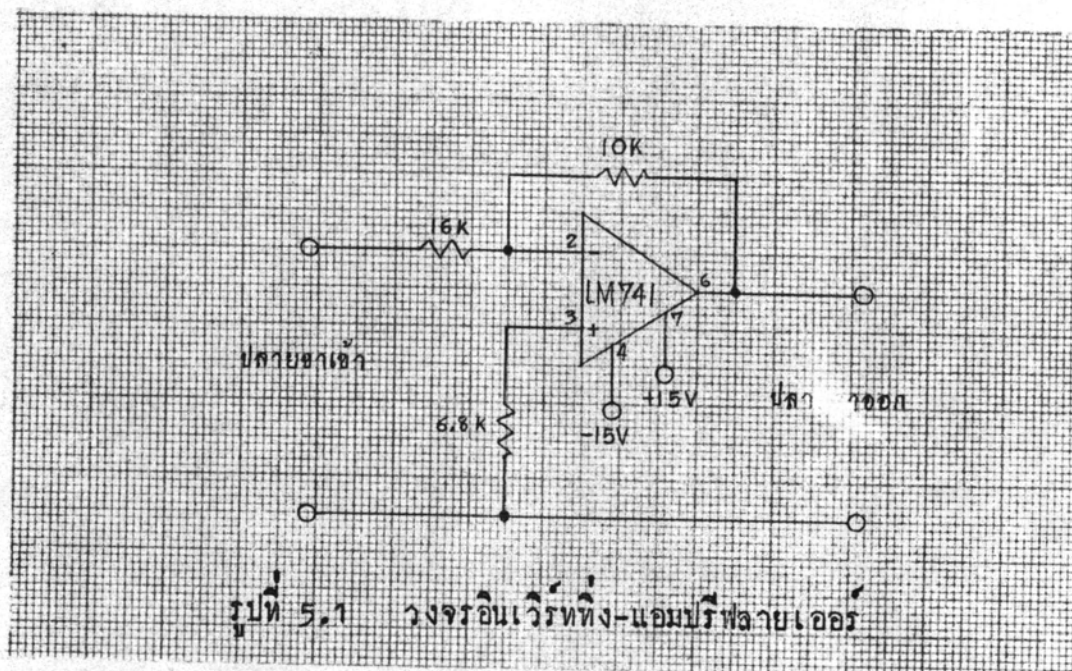
ผลการทดสอบเครื่องวัดโดยใช้สัญญาณจากวงจรอินเวอร์ทิ้ง และมีปัจจัยเออร์

| ความถี่ (ເຂົ້າຫາ) | ແຮງຕັນຫາເຫຼາ (ໄວລ໌) | ແຮງຕັນຫາອອກ (ໄວລ໌) | ອັກຮາຊູຍາຍ (ເທົາ) | ອັກຮາຊູຍາຍ (ເຄື່ອບລ) | ຄຸວາມແທກຖາງຂອງ-ນຸ່ມ (ອັກສາ) | ອັກຮາຊູຍາຍຈາກກາຫຸດຳນຸ່ມ (ເທົາ) | ອັກຮາຊູຍາຍຈາກກາຫຸດຳນຸ່ມ (ເຄື່ອບລ) |
|-------------------|---------------------|--------------------|-------------------|----------------------|-----------------------------|--------------------------------|-----------------------------------|
| 100               | 2.25                | 1.54               | 0.6856            | -3.2786              | 180.2                       | 0.6844                         | -3.2938                           |
| 200               | 2.11                | 1.45               | 0.6870            | -3.2609              | 180.5                       | 0.6872                         | -3.2583                           |
| 500               | 2.12                | 1.45               | 0.6881            | -3.2469              | 180.7                       | 0.6839                         | -3.3001                           |
| 1000              | 2.16                | 1.48               | 0.6832            | -3.3090              | 181.0                       | 0.6852                         | -3.2837                           |
| 2000              | 2.14                | 1.47               | 0.6872            | -3.2583              | 182.7                       | 0.6869                         | -3.2621                           |
| 5000              | 2.12                | 1.44               | 0.6805            | -3.3434              | 183.1                       | 0.6792                         | -3.3600                           |
| 10000             | 2.05                | 1.38               | 0.6783            | -3.3716              | 183.7                       | 0.6732                         | -3.4375                           |

หมายเหตุ

1. ແຮງຕັນຫັດໂຄມ Digital Simpson meter
2. ອັກຮາຊູຍາຍ =  $\frac{\text{ແຮງຕັນຫາອອກ}}{\text{ແຮງຕັນຫາເຫຼາ}}$
3. ອັກຮາຊູຍາຍ(ເຄື່ອບລ) =  $20 \times \log (\text{ອັກຮາຊູຍາຍເປັນເທົາ})$
4. ດໍາວັດວິທີການແຄທນິຍມ 4 ທຳແຫນງ

แอมป์วิฟายเบอร์ เอง ส่วนอัตราขยายที่วัดได้ไม่เทียบกับอัตราขยายที่คำนวณจากขนาดแรงกันของลักษณะขาเข้าและออกของวงจร จะเห็นได้ว่าความผิดพลาดในการวัดอัตราขยายเที่ยง 0.76 เปอร์เซ็นต์ ที่ความถี่ 10 กิโลเอิร์ท



### 5.3 การวิเคราะห์วงจรที่ทราบลักษณะสมบัติทางไฟฟ้า

ในการทดสอบนี้เราจะใช้เครื่องวิเคราะห์วงจรแบบดิจิตอลวัดอัตราขยายและความแตกต่างมุมของลักษณะขาเข้าและออกของวงจร RC filter และเปรียบเทียบผลการวัดกับผลการคำนวณการทดสอบจะทดสอบทั้งวงจร RC low pass filter และวงจร RC high pass filter ผลการทดสอบจะแสดงดังท่อไปนี้

5.3.1 ทดสอบวงจร RC low pass filter วงจรนี้แสดงในรูปที่ 5.2 เราใช้ความถี่ทางขนาด 11.95 กิโลเอิร์ท (วัดโดย Digital Simpson Multimeter) และค่าพาสซีเตอร์ขนาด 0.0505 ในโตรฟารัค (วัดโดยอัมป์แคนชันบริจ์มิเตอร์) ผลการทดลองแสดงในตารางที่ 5.3 เลือกค่าที่วัดได้ที่ความถี่ 271 เอิร์ทซึ่งมีอัตราขยายใกล้เคียงกับค่าอัตราขยายที่ความถี่ 3 เกษบลเพื่อคำนวณหาค่าความถี่ 3 เกษบลจากสมการอัตราขยายของวงจร RC low pass filter

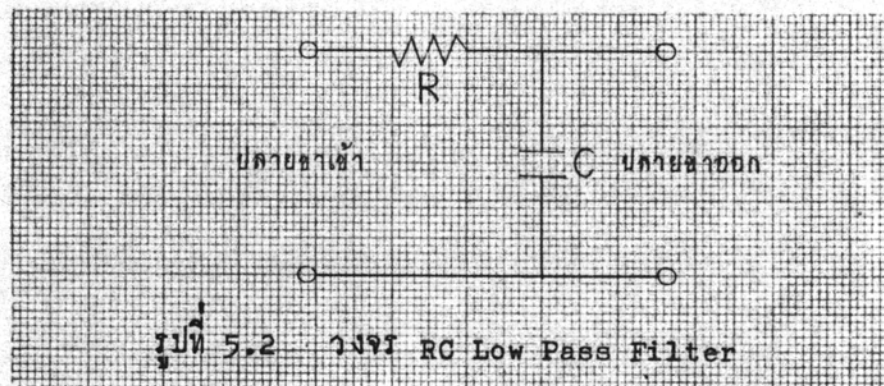
ตารางที่ 5.3

ผลการทดสอบวงจร RC low pass filter โดยใช้

ความถี่งานท่านขนาด 11.95 กิโล赫ซ์และค่าเพาเวอร์ขนาด 0.0505 ไมโครพารัต

| ความถี่ | อัตราขยาย(เท่า) |            |            |        | อัตราขยาย(เครื่อง) |            |            |         | มม         |            |            |        |
|---------|-----------------|------------|------------|--------|--------------------|------------|------------|---------|------------|------------|------------|--------|
|         | ครั้งที่ 1      | ครั้งที่ 2 | ครั้งที่ 3 | เฉลี่ย | ครั้งที่ 1         | ครั้งที่ 2 | ครั้งที่ 3 | เฉลี่ย  | ครั้งที่ 1 | ครั้งที่ 2 | ครั้งที่ 3 | เฉลี่ย |
| 20      | 0.992           | 0.991      | 0.992      | 0.992  | -0.068             | -0.076     | -0.070     | -0.071  | 4.211      | 4.107      | 4.181      | 4.166  |
| 50      | 0.990           | 0.982      | 0.991      | 0.988  | -0.088             | -0.137     | -0.115     | -0.114  | 10.206     | 10.352     | 10.301     | 10.286 |
| 100     | 0.940           | 0.940      | 0.949      | 0.943  | -0.539             | -0.539     | -0.454     | -0.511  | 20.291     | 20.464     | 20.404     | 20.386 |
| 200     | 0.801           | 0.800      | 0.800      | 0.800  | -1.933             | -1.935     | -1.934     | -1.934  | 36.305     | 36.366     | 36.345     | 36.391 |
| 271     | 0.710           | 0.694      | 0.696      | 0.700  | -2.978             | -3.167     | -3.151     | -3.099  | 45.625     | 45.731     | 45.777     | 45.778 |
| 500     | 0.470           | 0.472      | 0.463      | 0.468  | -6.568             | -6.522     | -6.689     | -6.593  | 61.379     | 61.374     | 61.353     | 61.369 |
| 1000    | 0.254           | 0.254      | 0.256      | 0.255  | -11.912            | -11.898    | -11.825    | -11.878 | 74.652     | 74.498     | 74.526     | 74.559 |
| 2000    | 0.131           | 0.131      | 0.131      | 0.131  | -17.684            | -17.684    | -17.675    | -17.681 | 82.284     | 82.295     | 82.284     | 82.288 |
| 5000    | 0.053           | 0.053      | 0.051      | 0.052  | -25.574            | -25.473    | -25.773    | -25.608 | 86.566     | 86.728     | 86.739     | 86.678 |

หมายเหตุ การวัดความแยกทางมุมใช้มุมของตัววัดเข้าเป็นตัวอ้างอิง



$$\text{อัตราขยาย(เท่า)} = \left( 1 + (\text{ความถี่ของสัญญาณ}/\text{ความถี่ 3 เกซิเบล})^2 \right)^{-\frac{1}{2}}$$

$$\therefore 0.7 = \left( 1 + (271/\text{ความถี่ 3 เกซิเบล})^2 \right)^{-\frac{1}{2}}$$

$$\therefore \text{ความถี่ 3 เกซิเบล} = 265.63 \text{ เฮิร์ต}$$

หากความถี่ 3 เกซิเบลจริงคำนวณได้จาก

$$\text{ความถี่ 3 เกซิเบล} = (2\pi RC)^{-\frac{1}{2}} \quad (5.2)$$

$$= (2 \times \pi \times 11950 \times 5.05 \times 10^{-8})$$

$$= 263.73 \text{ เฮิร์ต}$$

จะเห็นได้ว่าความถี่ 3 เกซิเบลที่ห่างผลการวัดผิดพลาดไปเพียง 1.9 เฮิร์ต  
หรือ 0.72 เปอร์เซ็นต์

จากความทันทันและค่าพารามิเตอร์ของวงจรที่ใช้เราสามารถคำนวณอัตราขยาย และความแทรกางมุ่นที่ความถี่ทั้งๆ ไปแล้ว ดังแสดงในตารางที่ 5.4 รูปที่ 5.3 และ 5.4 เป็นกราฟแสดงการเปรียบเทียบอัตราขยายเป็นเกซิเบล และความแทรกางมุ่นเป็นของผลการวัดและผลการคำนวณตามลำดับ จากผลการทดลองและการคำนวณเราสามารถคำนวณขนาดความผิดพลาดเฉลี่ยของการวัดอัตราขยายจาก

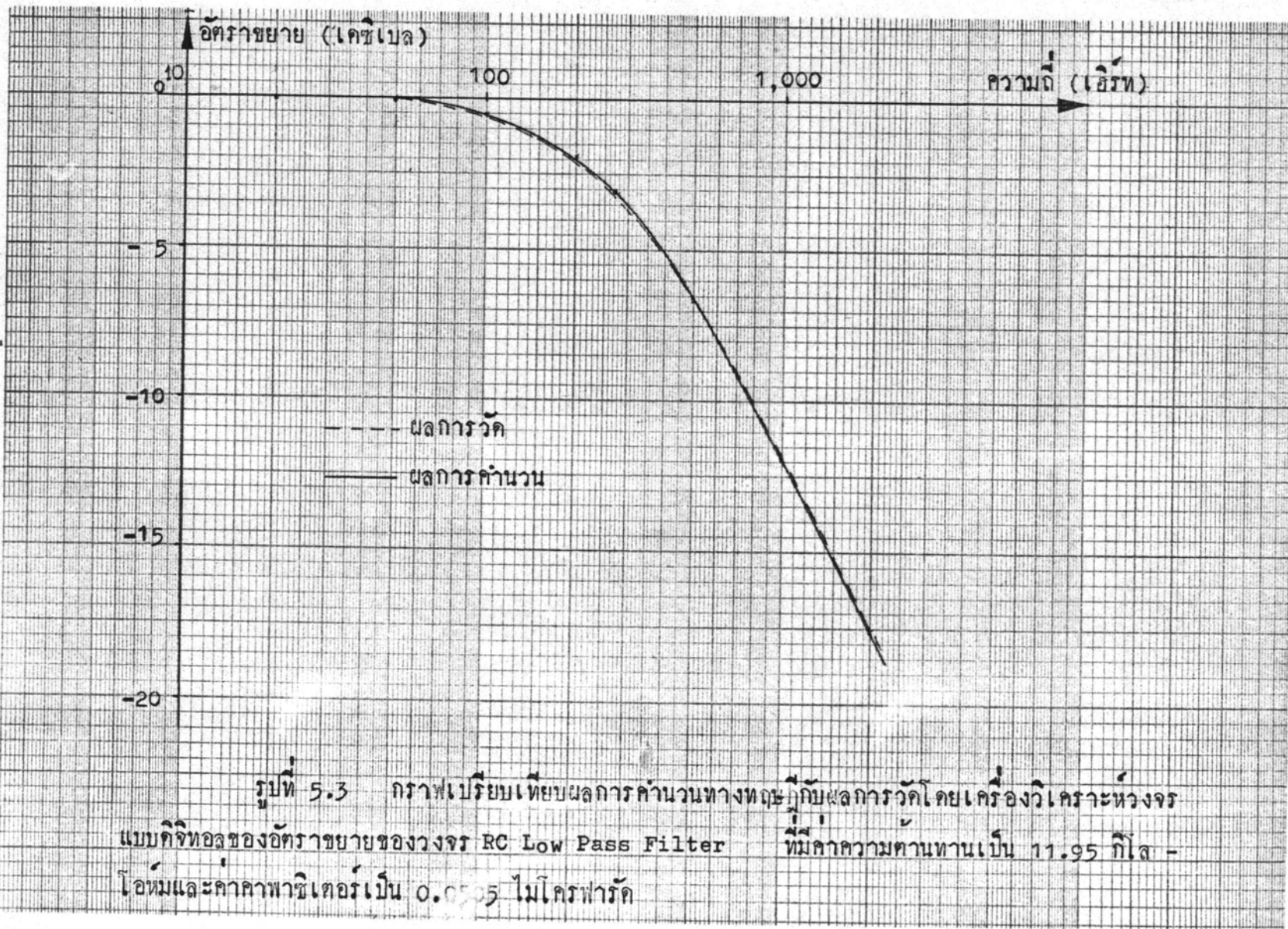
$$\text{ความผิดพลาดเฉลี่ย} = \sqrt{\sum_{N}^{1} |\text{อัตราขยายที่คำนวณ} - \text{อัตราขยายที่วัด}|} \quad (5.3)$$

โดย N เป็นจำนวนข้อมูล

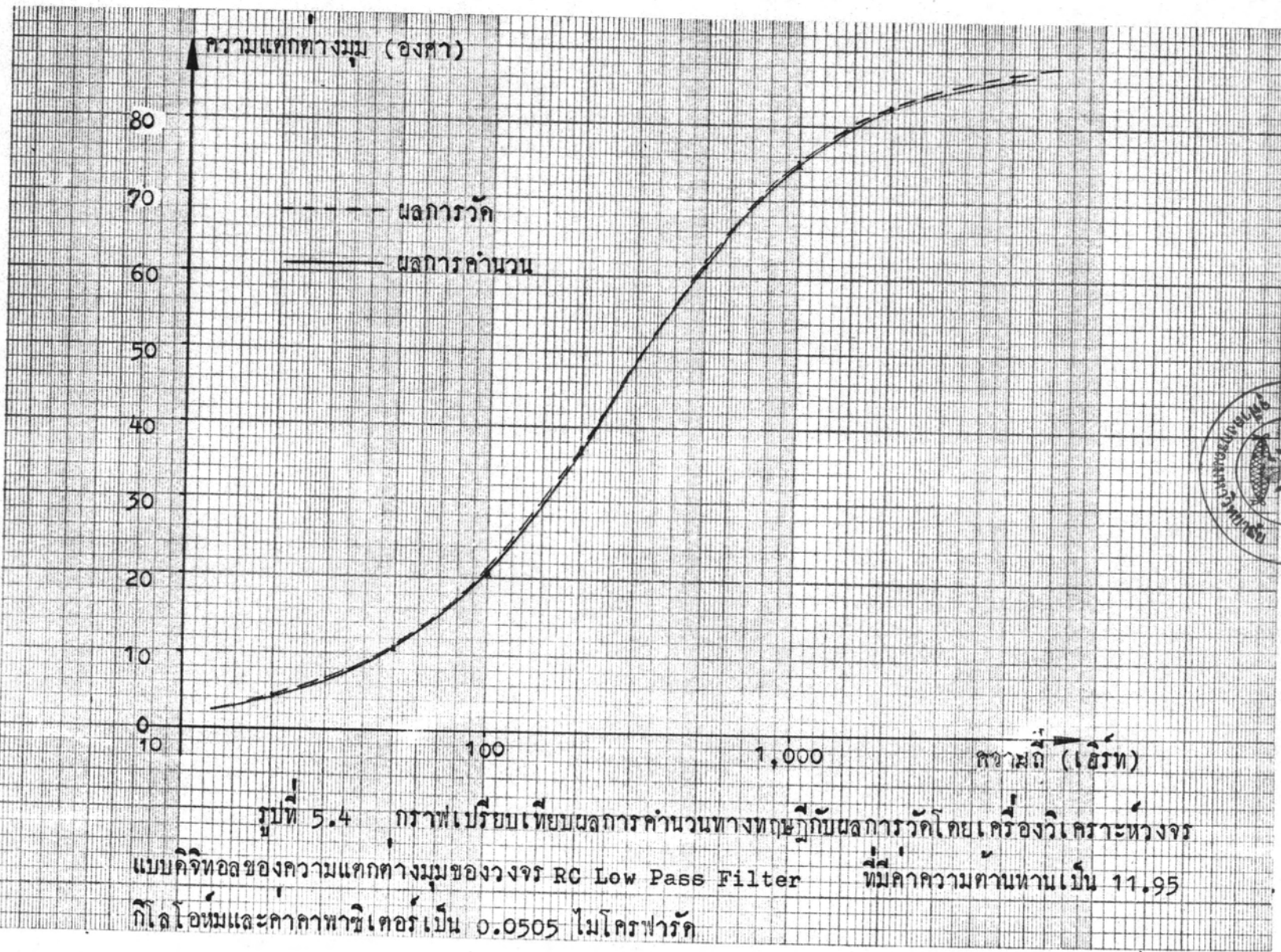
ตารางที่ 5.4

ผลการคำนวณลักษณะสมบัติของวงจร RC low pass filter  
ที่มีขนาดความท้านทาน 11.95 กิโลเอิร์ทและค่าพาสซีเตอร์ขนาด 0.0505 ไมโครฟาร์ด

| ความถี่<br>(เอิร์ท) | อัตราขยาย<br>(เท่า) | อัตราขยาย<br>(เกชีเบล) | มุม <sup>ก</sup><br>(องศา) |
|---------------------|---------------------|------------------------|----------------------------|
| 20                  | 0.9943              | -0.0497                | 4.332                      |
| 50                  | 0.9825              | -0.1531                | 10.724                     |
| 100                 | 0.9352              | -0.5823                | 20.746                     |
| 200                 | 0.7971              | -1.9698                | 37.147                     |
| 271                 | 0.6978              | -3.1254                | 45.749                     |
| 500                 | 0.4669              | -6.6153                | 62.166                     |
| 1000                | 0.2553              | -11.8605               | 75.211                     |
| 2000                | 0.1309              | -17.6635               | 82.480                     |
| 5000                | 0.0527              | -25.5591               | 86.978                     |



รูปที่ 5.3 กราฟเปรียบเทียบผลการคำนวณทางทฤษฎีกับผลการวัดโดยเครื่องวิเคราะห์วงจรแบบดิจิทอลของอัตราขยายของวงจร RC Low Pass Filter ที่มีความถี่ตัดpassband เป็น 11.95 กิโล-โอด์และค่าค่าพาสเซอร์เป็น 0.0505 ไมโครฟาร์ด



ความผิดพลาดเฉลี่ยของอัตราขยาย = 0.002 เท่า

ในท่านองค์ประกอบจะได้ว่า

ความผิดพลาดเฉลี่ยของอัตราขยาย = 0.03 เกชิเบล

และความผิดพลาดเฉลี่ยของมุม = 0.369 องศา.

ดังจากเปลี่ยนค่าความทัพท่าน 11.95 กิโลโอม์ เป็นความท้านทานขนาด 1182 โอม์ (วัตต์โภย Digital Simpson Multimeter) และทำการทดลองใหม่ ไก่ผัดกับแสงคงในการang ที่ 5.5 ใช้ผลการทดลองที่ความถี่ 2691 เฮิร์ท คำนวนค่าความถี่ 3 เกชิเบล ได้จากการที่ (5.1)

ความถี่ 3 เกชิเบล (วัตต์) = 2637.7 เฮิร์ท

ส่วนค่าความถี่ 3 เกชิเบลซึ่งหาได้จากการ (5.2)

ความถี่ 3 เกชิเบล (จริง) = 2666 เฮิร์ท

จะเห็นได้ว่าความถี่ 3 เกชิเบลที่คำนวนจากผลการวัดมีไป 28.3 องศา หรือ 1.06 เปอร์เซ็นต์

จากค่าความท้านทานและค่าพาธิเทอร์ที่ใช้เราสามารถคำนวนอัตราขยายและความแตกต่างมุมที่ความถี่ทั้งๆไก่ผัดกับแสงคงในการang ที่ 5.6 รูปที่ 5.5 และ 5.6 เป็นกราฟแสงคงการเปรียบเทียบอัตราขยายเป็นเกชิเบล และความแตกต่างมุมเป็นองศาของผลการวัดกับผลการคำนวนตามลำดับ

5.3.2 ทดสอบวงจร RC high pass filter วงจรนี้แสงคงในรูปที่ 5.7 เราใช้ความท้านทานขนาด 11.95 กิโลโอม์และค่าพาธิเทอร์ขนาด 0.0505 ในโครงสร้าง ผลการทดสอบแสงคงในการang ที่ 5.7 ส่วนการang ที่ 5.8 แสงคงผลการคำนวนทางทฤษฎี รูปที่ 5.8 และ 5.9 เป็นกราฟแสงคงการเปรียบเทียบอัตราขยายเป็นเกชิเบล และความแตกต่างมุมเป็นองศาของผลการวัดกับผลการคำนวนตามลำดับ จากผลการทดลองและการคำนวนเราสามารถคำนวนขนาดความผิดพลาดเฉลี่ยจากการ (5.3)

ตารางที่ 5.5

ผลการวิเคราะห์วงจร RC low pass filter ที่มีค่า  
ความถี่ต้านทาน 1182 โอ姆และค่าค่าพาสซีฟแนทชัน 0.0505 ไมโครเฟรนซ์

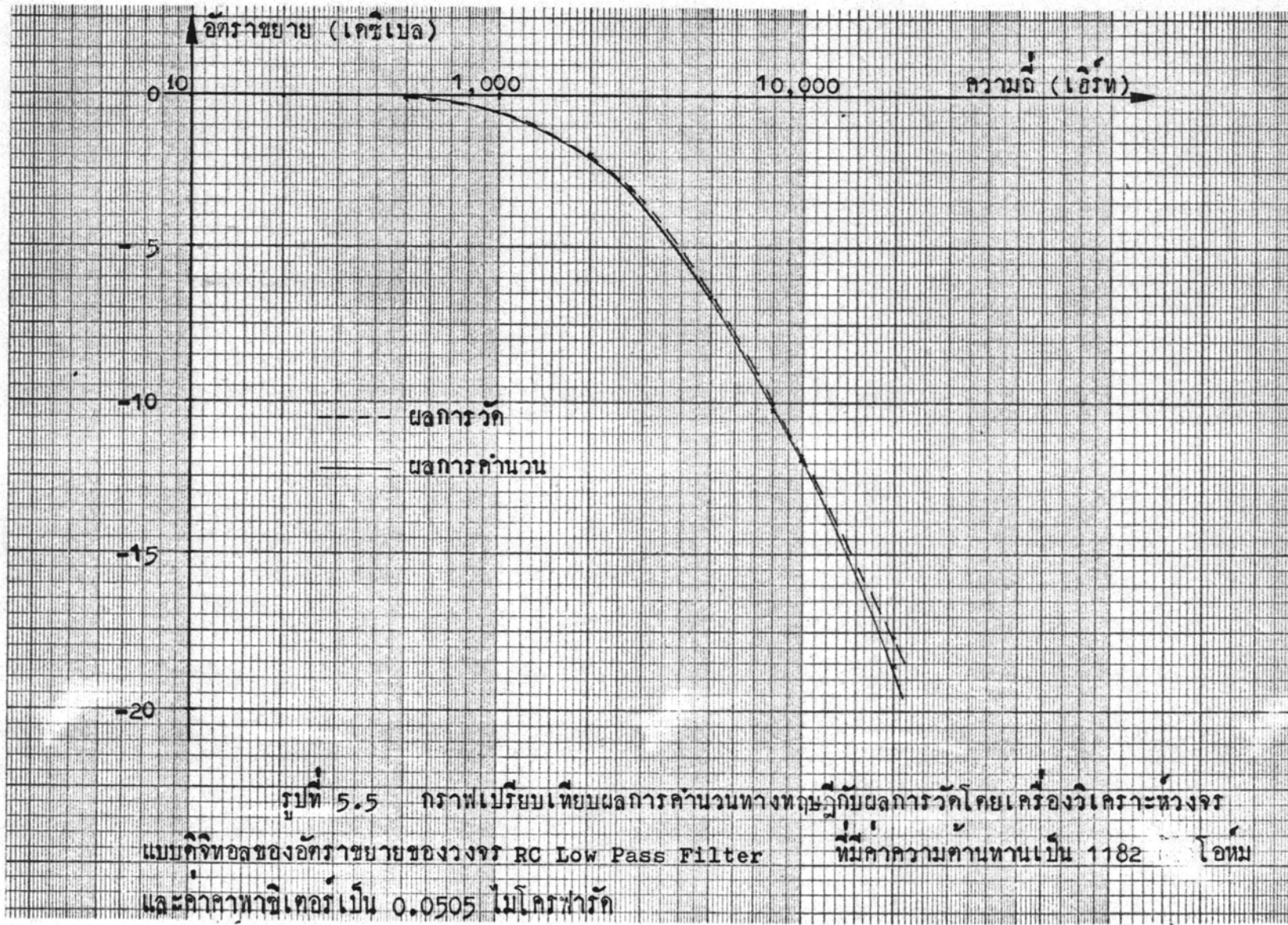
| ความถี่<br>(เอร์ท) | อัตราขยาย(เท่า) |            |            |        | อัตราขยาย(เคิลเบล) |            |            |         | มม         |            |            |        |
|--------------------|-----------------|------------|------------|--------|--------------------|------------|------------|---------|------------|------------|------------|--------|
|                    | ครั้งที่ 1      | ครั้งที่ 2 | ครั้งที่ 3 | เฉลี่ย | ครั้งที่ 1         | ครั้งที่ 2 | ครั้งที่ 3 | เฉลี่ย  | ครั้งที่ 1 | ครั้งที่ 2 | ครั้งที่ 3 | เฉลี่ย |
| 100                | 0.996           | 1.006      | 1.007      | 1.033  | -0.033             | 0.053      | 0.062      | 0.027   | 2.089      | 2.346      | 2.198      | 2.211  |
| 200                | 0.995           | 0.997      | 0.999      | 0.997  | -0.047             | -0.013     | -0.013     | -0.024  | 4.803      | 4.800      | 4.801      | 4.801  |
| 500                | 0.989           | 0.988      | 0.989      | 0.989  | -0.097             | -0.106     | -0.095     | -0.099  | 11.667     | 11.685     | 11.686     | 11.679 |
| 1000               | 0.941           | 0.932      | 0.939      | 0.937  | -0.527             | -0.611     | -0.539     | -0.559  | 22.625     | 22.632     | 22.596     | 22.618 |
| 2000               | 0.796           | 0.798      | 0.790      | 0.795  | -1.985             | -1.955     | -2.046     | -1.995  | 36.184     | 36.169     | 36.153     | 36.169 |
| 2691               | 0.699           | 0.701      | 0.699      | 0.700  | -3.108             | -3.085     | -3.111     | -3.101  | 45.115     | 45.093     | 45.034     | 45.081 |
| 5000               | 0.465           | 0.463      | 0.466      | 0.465  | -6.660             | -6.619     | -6.632     | -6.637  | 61.418     | 61.526     | 61.669     | 61.538 |
| 8000               | 0.305           | 0.306      | 0.307      | 0.306  | -10.315            | -10.276    | -10.250    | -10.280 | 72.817     | 72.817     | 72.933     | 72.856 |
| 10000              | 0.251           | 0.256      | 0.256      | 0.254  | -11.992            | -11.848    | -11.855    | -11.898 | 75.083     | 75.876     | 75.790     | 75.583 |
| 20000              | 0.112           | 0.121      | 0.118      | 0.117  | -18.351            | -18.533    | -18.985    | -18.623 | 82.743     | 82.707     | 82.426     | 82.625 |

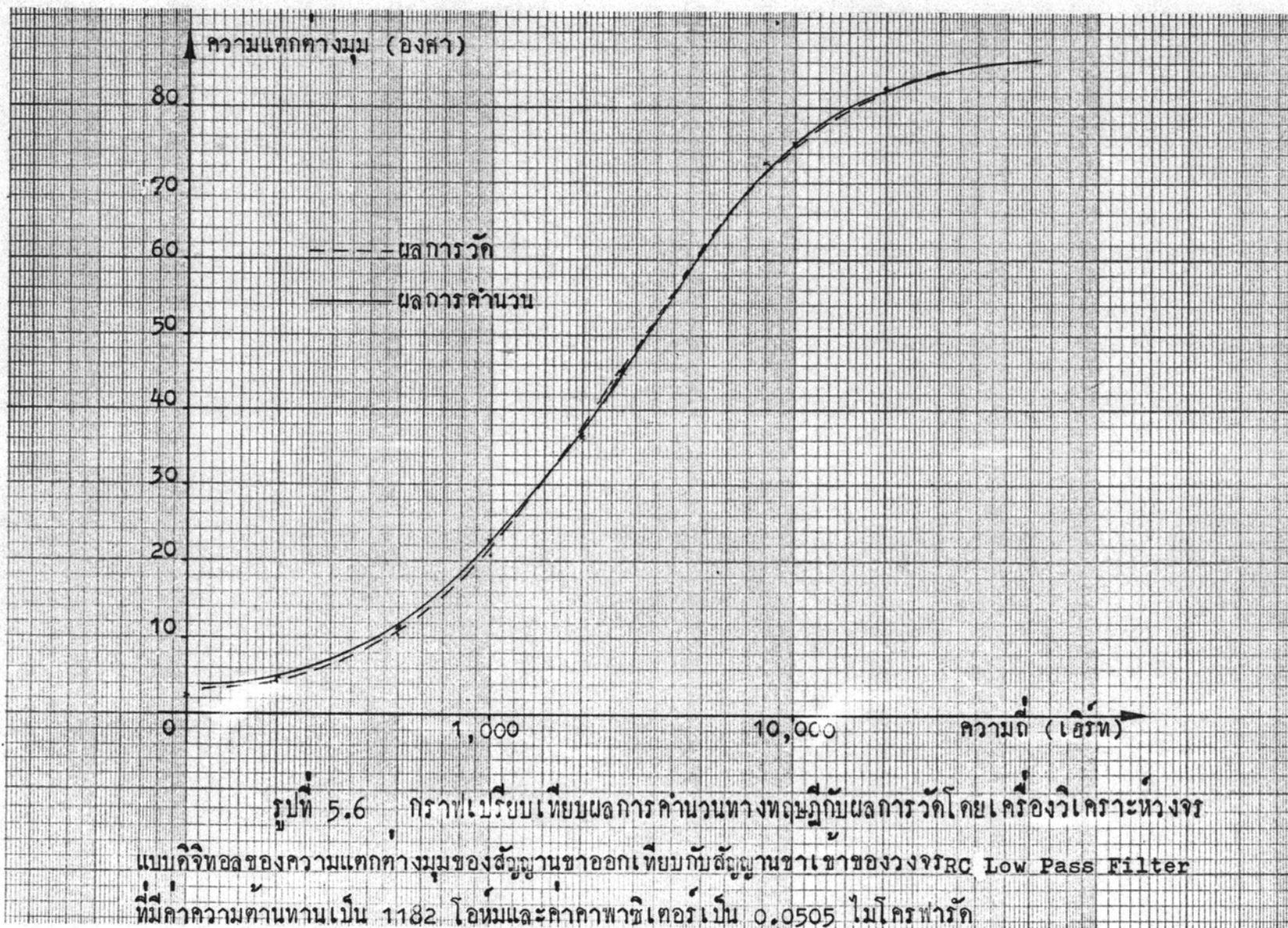
หมายเหตุ ความแตกต่างมุมใช้ดูฐานเข้าเป็นตัวอ้างอิง

## ตารางที่ 5.6

ลักษณะสมบัติทางดุจดิจิของวงจร RC low pass filter  
ที่มีค่าความถี่ต้นท่าน 1182 โอด์มและค่าพาสเซนท์นาค 0.0505 โนโตรฟาร์ค

| ความถี่<br>(ເເହଁ) | อัตราขยาย<br>(ເຫຼາ) | อัตราขยาย<br>(ເຄື່ອບຄ) | ความแทรกทาง<br>ມູນ(ອງໜາ) |
|-------------------|---------------------|------------------------|--------------------------|
| 100               | 0.999               | -0.006                 | 2.15                     |
| 200               | 0.997               | -0.024                 | 4.29                     |
| 500               | 0.983               | -0.150                 | 10.62                    |
| 1000              | 0.936               | -0.572                 | 20.56                    |
| 2000              | 0.799               | -1.939                 | 36.87                    |
| 2691              | 0.704               | -3.051                 | 45.26                    |
| 5000              | 0.471               | -6.548                 | 61.93                    |
| 8000              | 0.316               | -10.001                | 71.57                    |
| 10000             | 0.258               | -11.780                | 75.07                    |
| 20000             | 0.132               | -17.579                | 82.41                    |





ตารางที่ 5.7

ผลการทดสอบวงจร RC high pass filter  
ที่มีความถี่ต้นทาง 11.95 โอดซ์ และค่าพารามิเตอร์ขนาด 0.0505 ในรูปกราฟรัต

| ความถี่<br>(โอดซ์) | อัตราขยาย(เท่า) |            |            |        | อัตราขยาย(เคชเบล) |            |            |         | มม(องศา)   |            |            |        |
|--------------------|-----------------|------------|------------|--------|-------------------|------------|------------|---------|------------|------------|------------|--------|
|                    | ครั้งที่ 1      | ครั้งที่ 2 | ครั้งที่ 3 | เฉลี่ย | ครั้งที่ 1        | ครั้งที่ 2 | ครั้งที่ 3 | เฉลี่ย  | ครั้งที่ 1 | ครั้งที่ 2 | ครั้งที่ 3 | เฉลี่ย |
| 20                 | 0.074           | 0.073      | 0.073      | 0.0739 | -22.571           | -22.682    | -22.618    | -22.624 | 274.6      | 274.5      | 274.6      | 274.55 |
| 50                 | 0.179           | 0.182      | 0.180      | 0.1808 | -14.902           | -14.815    | -14.855    | -14.857 | 279.5      | 279.8      | 279.6      | 279.66 |
| 100                | 0.331           | 0.332      | 0.330      | 0.3311 | -9.609            | -9.569     | -9.625     | -9.601  | 289.2      | 289.3      | 289.2      | 289.25 |
| 200                | 0.592           | 0.594      | 0.594      | 0.5936 | -4.701            | -4.662     | -4.663     | -4.675  | 306.1      | 306.2      | 306.2      | 306.17 |
| 260                | 0.705           | 0.703      | 0.705      | 0.7047 | -3.042            | -3.052     | -3.027     | -3.040  | 314.9      | 314.9      | 314.9      | 314.95 |
| 500                | 0.875           | 0.875      | 0.871      | 0.8737 | -1.158            | -1.160     | -1.199     | -1.172  | 331.6      | 331.6      | 331.6      | 331.57 |
| 1000               | 0.960           | 0.964      | 0.965      | 0.9633 | -0.351            | -0.316     | -0.307     | -0.325  | 344.1      | 344.2      | 344.2      | 344.16 |
| 2000               | 0.975           | 0.980      | 0.976      | 0.9770 | -0.222            | -0.175     | -0.209     | -0.202  | 351.7      | 351.8      | 351.8      | 351.76 |
| 5000               | 0.989           | 0.989      | 0.984      | 0.9877 | -0.096            | -0.089     | -0.137     | -0.107  | 356.7      | 356.7      | 356.7      | 356.74 |
| 10000              | 0.981           | 0.995      | 0.985      | 0.9872 | -0.163            | -0.046     | -0.128     | -0.112  | 357.5      | 357.8      | 357.8      | 357.69 |

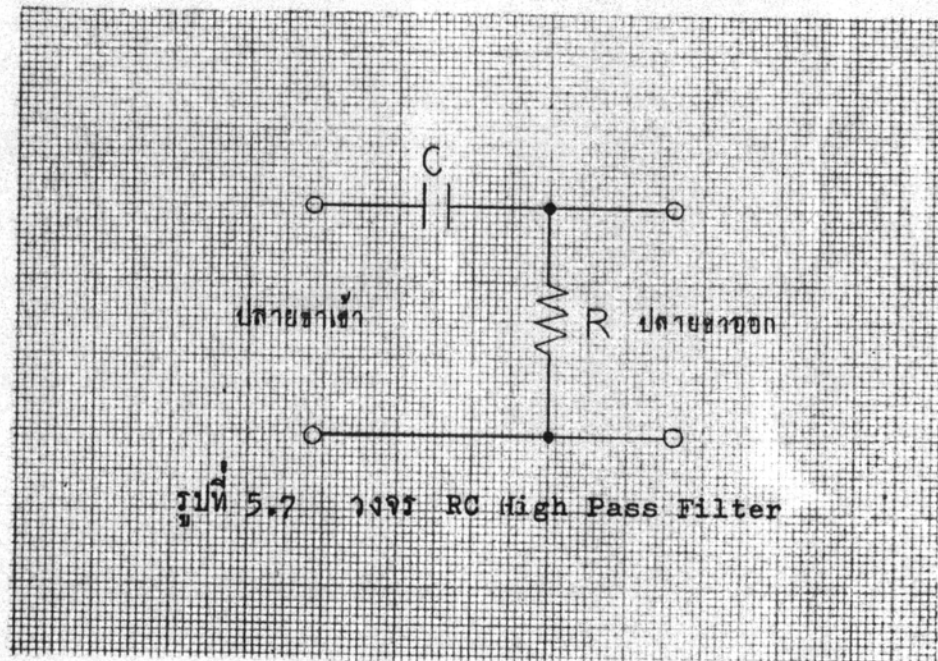
หมายเหตุ การวัดความ dokładทางมุมใช้มุมของสูญญากาศเข้าเป็นค่าว่างอิง

## ตารางที่ 5.8

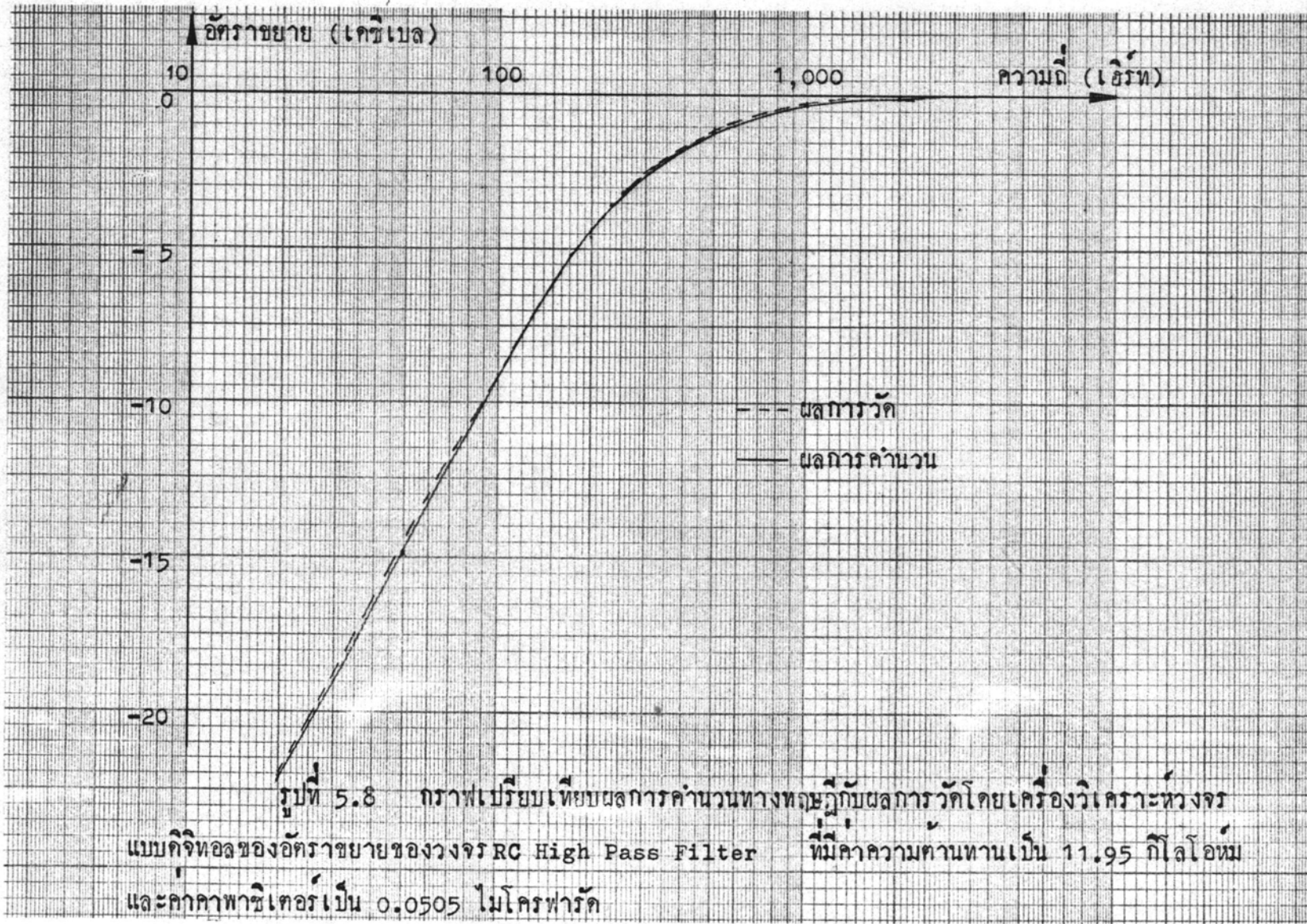
ลักษณะสมบัติทางทฤษฎีของวงจร RC high pass filter  
ที่มีค่าความถี่ฐาน 11.95 โวท์และค่าพาสเซนท์เป็น 0.0505 ในໂຄຣຟາຣັກ

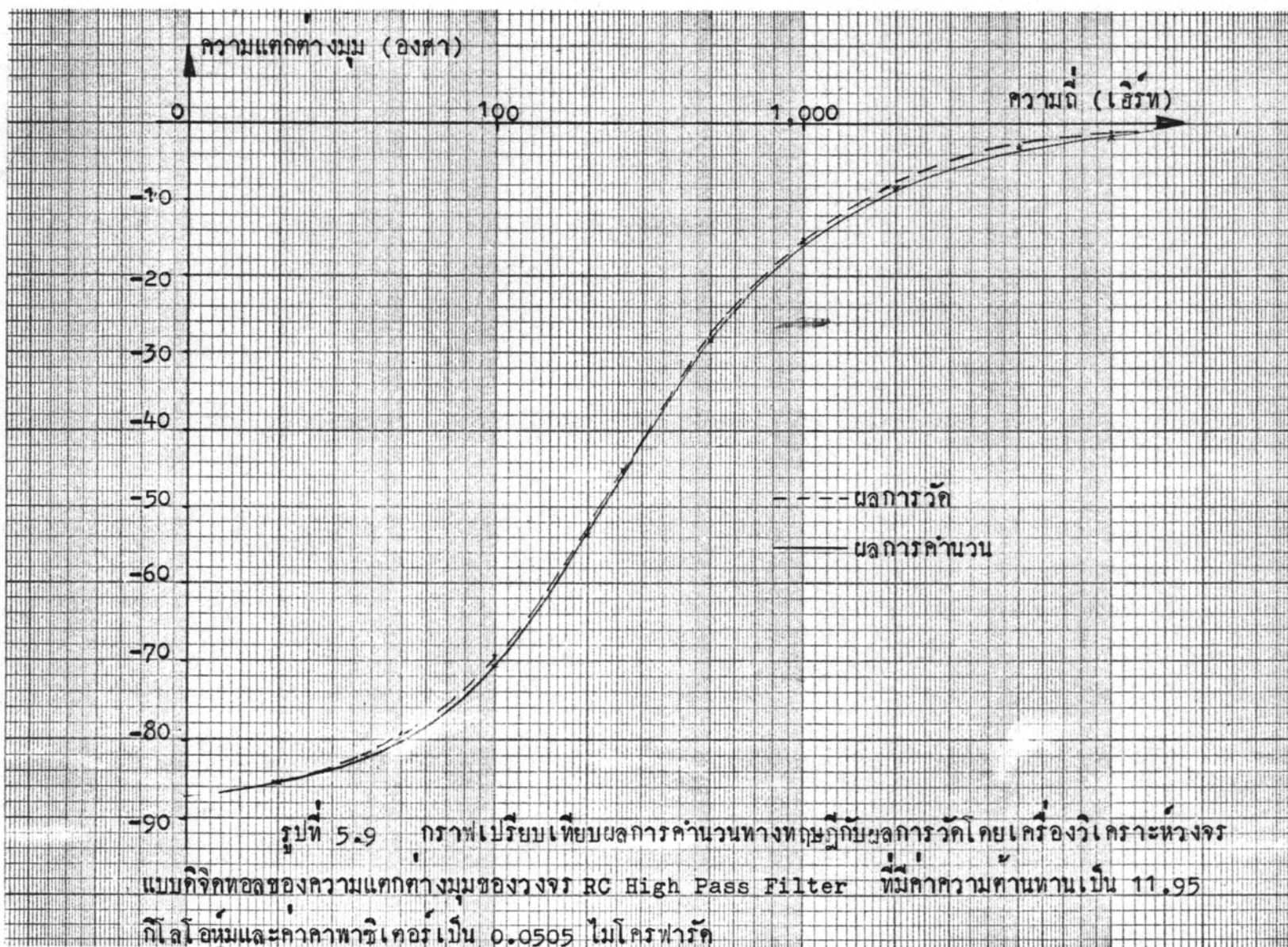
| ความถี่<br>(ເຊີຣ໌) | ອັກຮາຍຍາຍ<br>(ເຫຼາ) | ອັກຮາຍຍາຍ<br>(ເດືອນເບຸກ) | ນູນ<br>(ອັງສາ) |
|--------------------|---------------------|--------------------------|----------------|
| 20                 | 0.0755              | -22.4365                 | -85.67         |
| 50                 | 0.1861              | -14.6051                 | -79.28         |
| 100                | 0.3542              | -9.0144                  | -69.25         |
| 200                | 0.6039              | -4.3813                  | -52.85         |
| 260                | 0.7017              | -3.077                   | -45.45         |
| 500                | 0.8843              | -1.0679                  | -27.83         |
| 1000               | 0.9668              | -0.2926                  | -14.79         |
| 2000               | 0.9914              | -0.0750                  | -7.52          |
| 5000               | 0.9986              | -0.0121                  | -3.03          |
| 10000              | 0.9997              | -0.0030                  | -1.52          |

ความนิ่วคลาคเนลี่ของอัตราขยาย (เท่า) = 0.0095 เท่า  
 " " " (เกชิเบล) = 0.3642 เกชิเบล  
 " " ความแทรกทางมุม = 0.751 องศา



หลังจากเปลี่ยนความต้านทานขนาด 11.95 กิโลโอม์ ไปเป็น 1182 โอห์ม แล้วทำการทดลองใหม่ได้ผลคงแสดงในตารางที่ 5.9 ส่วนตารางที่ 5.10 เป็นผลการคำนวนทางดุษฎี รูปที่ 5.10 และ 5.11 เป็นกราฟเปรียบเทียบผลการวัดกับการทดลองของอัตรา





ตารางที่ 5.9

ผลการทดสอบวงจร RC high pass filter โดย  
ค่าความทันทันเป็น 1182 โอม และค่าพาโนเมอร์เป็น 0.0505 ในโทรศัพท์

| ความถี่<br>(ເຊື້ອທີ) | อัตราขยาย(เท่า) |          |          |        | อัตราขยาย(เกชເບອດ) |          |          |         | นມ(องศา) |          |          |        |
|----------------------|-----------------|----------|----------|--------|--------------------|----------|----------|---------|----------|----------|----------|--------|
|                      | ครงที่ 1        | ครงที่ 2 | ครงที่ 3 | เฉลี่ย | ครงที่ 1           | ครงที่ 2 | ครงที่ 3 | เฉลี่ย  | ครงที่ 1 | ครงที่ 2 | ครงที่ 3 | เฉลี่ย |
| 100                  | 0.035           | 0.035    | 0.035    | 0.035  | -29.075            | -29.027  | -29.073  | -29.073 | 270.7    | 270.1    | 270.8    | 270.5  |
| 200                  | 0.072           | 0.073    | 0.074    | 0.073  | -22.822            | -22.715  | -22.602  | -22.713 | 273.6    | 273.0    | 273.1    | 273.2  |
| 500                  | 0.167           | 0.166    | 0.166    | 0.166  | -15.601            | -15.601  | -15.611  | -15.167 | 280.6    | 280.7    | 280.7    | 280.7  |
| 1000                 | 0.328           | 0.329    | 0.329    | 0.329  | -9.680             | -9.661   | -9.644   | -9.662  | 290.0    | 290.0    | 290.0    | 290.0  |
| 2000                 | -0.579          | 0.580    | 0.579    | 0.579  | -4.750             | -4.731   | -4.742   | -4.741  | 306.1    | 306.1    | 306.1    | 306.1  |
| 2732                 | 0.696           | 0.694    | 0.689    | 0.693  | -3.153             | -3.177   | -3.242   | -3.191  | 314.7    | 314.7    | 314.8    | 314.7  |
| 5000                 | 0.866           | 0.870    | 0.856    | 0.864  | -1.248             | -1.210   | -1.350   | -1.269  | 332.1    | 332.1    | 332.1    | 332.1  |
| 8000                 | 0.930           | 0.926    | 0.925    | 0.927  | -0.634             | -0.667   | -0.660   | -0.660  | 341.4    | 341.4    | 341.5    | 341.4  |
| 10000                | 0.953           | 0.949    | 0.952    | 0.951  | -0.503             | -0.541   | -0.518   | -0.521  | 346.0    | 346.0    | 346.1    | 346.0  |
| 20000                | 0.998           | 0.990    | 0.998    | 0.995  | -0.013             | -0.085   | -0.021   | -0.040  | 353.1    | 353.4    | 353.3    | 353.3  |

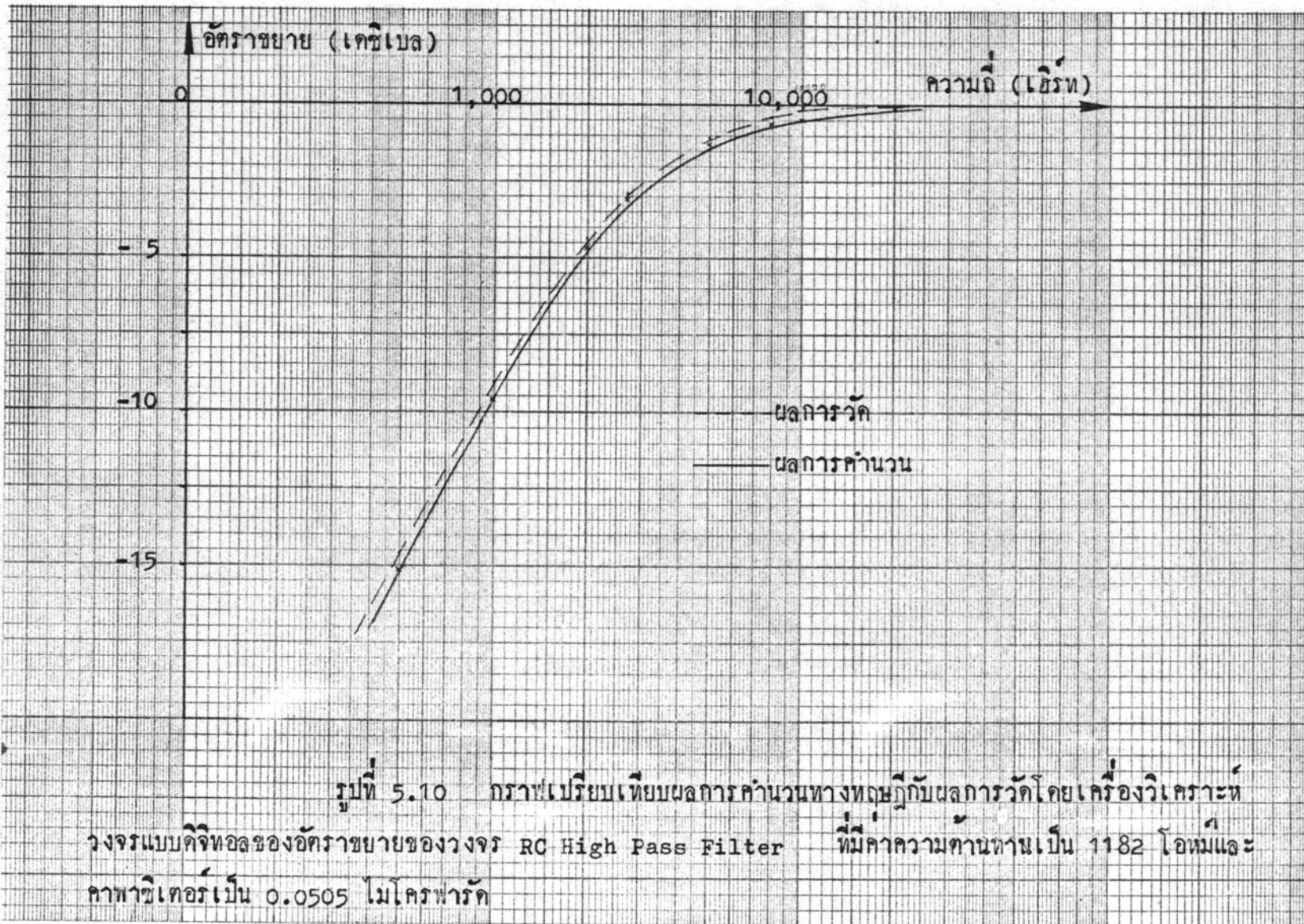
หมายเหตุ การจัดความแยกทางนມให้มุ่งของสัญญาณขาเข้าเป็นค่าว่างอิง

ตารางที่ 5.10

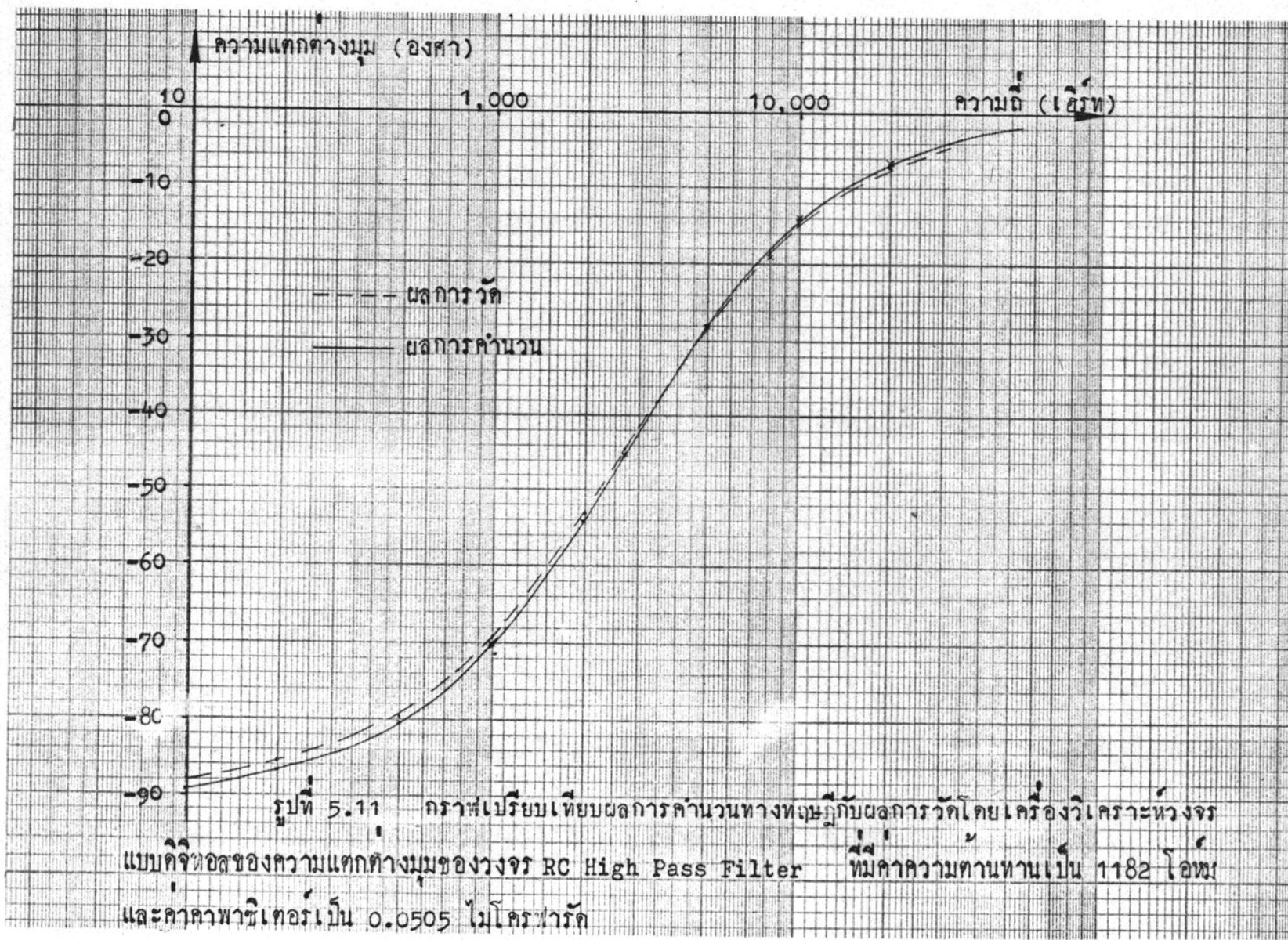


ลักษณะสมบัติทางทฤษฎีของวงจร RC high pass filter  
ที่มีค่าความทวนทาน 1.182 โอมและค่าพาสเซนท์ขนาด 0.0505 ไมโครฟาร์ค

| ความถี่<br>(เอิร์ท) | อัตราขยาย<br>(เท่า) | อัตราขยาย<br>(เกซิเบล) | มม<br>(องศา) |
|---------------------|---------------------|------------------------|--------------|
| 100                 | 0.037               | -28.525                | -87.85       |
| 200                 | 0.075               | -22.521                | -85.71       |
| 500                 | 0.184               | -14.693                | -79.38       |
| 1000                | 0.351               | -9.089                 | -69.44       |
| 2000                | 0.600               | -4.436                 | -53.13       |
| 2732                | 0.716               | -2.905                 | -44.30       |
| 5000                | 0.882               | -1.087                 | -28.07       |
| 8000                | 0.949               | -0.457                 | -18.43       |
| 10000               | 0.966               | -0.298                 | -14.93       |
| 20000               | 0.991               | -0.077                 | -7.594       |



รูปที่ 5.10 กราฟเปรียบเทียบผลการคำนวนทางดุษฎีกับผลการวัดโดยเครื่องวิเคราะห์  
วงจรแบบดิจิตอลของอัตราขยายของวงจร RC High Pass Filter ที่มีความถี่ตัดpass เป็น 1182 โอดิโอ  
คลาพาวิเทอร์ เป็น 0.0505 ไมโครไฟร์



ขยายและความแทรกทางมุมตามลำดับ จากผลการทดลองและผลการคำนวนสามารถคำนวน  
ความผิดพลาดเฉลี่ย ไกจากสมการที่ (5.3) จะได้ว่า

|                                       |   |       |         |
|---------------------------------------|---|-------|---------|
| ความผิดพลาดเฉลี่ยของอัตราขยายเป็นเท่า | = | 0.015 | เท่า    |
| " " " เกชีเบล                         | = | 0.302 | เกชีเบล |
| " " ความแทรกทางมุม                    | = | 0.731 | องศา    |

จากผลการทดสอบทางที่ได้กล่าวมานี้จะเห็นได้ว่าการทดสอบเครื่องวิเคราะห์  
วงจรแบบคิจhol โดยการนำเครื่องฯไปใช้วัดวงจร RC filter ไกผลการการวัดใกล้เคียง  
กับทางทฤษฎีมาก จากผลการวัดทำให้เราสามารถคำนวนหาความถี่ 3 เกชีเบลของวงจรที่ถูก<sup>ที่</sup>  
วัดไกโดยผิดพลาดประมาณ 1 เปอร์เซ็นต์เท่านั้น

#### 5.4 การใช้เครื่องวิเคราะห์วงจรแบบคิจhol วิเคราะห์วงจรที่ไม่ทราบลักษณะสมบูรณ์

ในการทดลองนี้เราใช้วงจรสอง ท่า (Two port network) ที่ไม่ทราบ  
ลักษณะสมบูรณ์ที่คั้งแสกนในรูปที่ 5.12 ผลการทดลองแสกนในตารางที่ 5.11 จากผลการทดลอง  
เราสามารถเขียนเส้นกราฟของอัตราขยายและความแทรกทางมุมไกคั้งแสกนในรูปที่ 5.13 และ  
5.14 ตามลำดับ จากเส้นกราฟของอัตราขยายจะเห็นได้ว่าที่ความถี่ที่กว่า 500 เ亥ร์ท เส้น  
กราฟมีเส้น asymptote มีความชัน 0 เกชีเบลท่องทาง โดยเป็นเส้นตรงที่มีอัตราขยาย  
คงที่ที่ 6 เกชีเบล ที่ความถี่สูงกว่า 500 เ亥ร์ท เส้น asymptote มีความชัน -12 เ�  
ชีเบลท่อ 2 เท่าของความถี่ เส้นกราฟมีจุดสูงสุดที่อัตราขยายประมาณ 7.3 เกชีเบล ที่ความถี่  
ประมาณ 360 เ亥ร์ท และอัตราขยายลดลง 3 เกชีเบล จากระดับ 6 เกชีเบลที่ความถี่ 640  
亥ร์ท ส่วนกราฟของความแทรกทางมุมจะมีค่าของมุมลอกจาก 0 องศาไปเป็น -180 องศา เมื่อ  
ความถี่เพิ่มขึ้น และความแทรกทางมุมเป็น -90 องศา ที่ความถี่ 500 เ亥ร์ท

จากเส้นกราฟของอัตราขยายและความแทรกทางมุมในรูปที่ 5.13 และ 5.14  
จะเห็นได้ว่าเป็นเส้นกราฟของวงจร Second Order low Pass Chebyshev filter  
ที่มีความถี่หักมุมที่ 500 เ亥ร์ท เนื่องสมการ Transfer function ของอัตราส่วนแรงดันขา

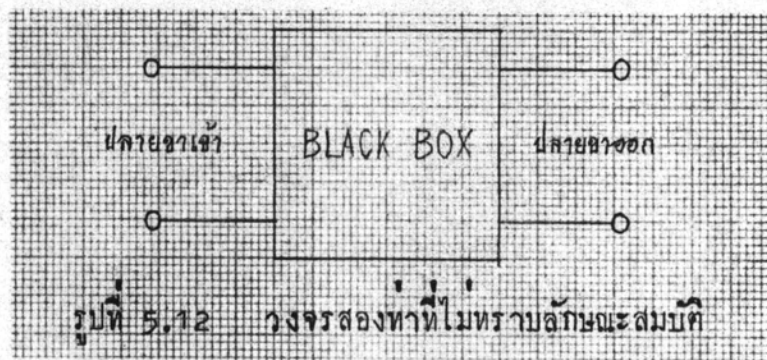
ตารางที่ 5.11

ผลการวัดอัตราการขยายตัวของรายได้ตามภาคในรูปที่ 5.12

| ค่าว่าง<br>(เฉลี่ย) | ตัวกรามาญ (บาท) |            |            |
|---------------------|-----------------|------------|------------|-----------------|------------|------------|-----------------|------------|------------|-----------------|------------|------------|
|                     | ครึ่งที่ 1      | ครึ่งที่ 2 | ครึ่งที่ 3 | เฉลี่ย          | ครึ่งที่ 1 | ครึ่งที่ 2 | เฉลี่ย          | ครึ่งที่ 1 | ครึ่งที่ 2 | เฉลี่ย          | ครึ่งที่ 1 | ครึ่งที่ 2 |
| 19.6                | 2.044           | 2.048      | 2.49       | 2.047           | 6.044      | 6.227      | 6.231           | 6.167      | 6.172      | 6.168           | 1.26       | 1.55       |
| 48.1                | 2.078           | 2.075      | 2.075      | 2.076           | 6.353      | 6.340      | 6.344           | 4.89       | 4.88       | 4.88            | 4.88       | 4.88       |
| 94.2                | 2.105           | 2.103      | 2.104      | 2.104           | 6.465      | 6.457      | 6.461           | 10.59      | 10.56      | 10.49           | 10.49      | 10.55      |
| 194.9               | 2.193           | 2.197      | 2.196      | 2.196           | 6.821      | 6.837      | 6.833           | 6.830      | 25.59      | 25.22           | 25.29      | 25.37      |
| 294.2               | 2.318           | 2.319      | 2.315      | 2.317           | 7.302      | 7.306      | 7.291           | 7.299      | 42.35      | 42.29           | 42.24      | 42.29      |
| 341.7               | 2.323           | 2.321      | 2.321      | 2.322           | 7.321      | 7.314      | 7.314           | 7.316      | 52.31      | 52.26           | 52.25      | 52.27      |
| 371.8               | 2.319           | 2.319      | 2.320      | 2.319           | 7.306      | 7.306      | 7.306           | 7.309      | 58.53      | 58.53           | 58.53      | 58.54      |
| 398.6               | 2.285           | 2.288      | 2.288      | 2.287           | 7.178      | 7.189      | 7.189           | 7.185      | 65.19      | 65.21           | 65.23      | 65.21      |
| 445.0               | 2.190           | 2.192      | 2.190      | 2.191           | 6.809      | 6.817      | 6.809           | 6.812      | 76.19      | 76.18           | 76.17      | 76.18      |
| 492.5               | 2.041           | 2.031      | 2.034      | 2.035           | 6.197      | 6.154      | 6.167           | 6.173      | 87.18      | 87.13           | 87.13      | 87.15      |
| 545.0               | 1.849           | 1.844      | 1.840      | 1.844           | 5.339      | 5.319      | 5.319           | 5.296      | 5.137      | 98.33           | 98.34      | 98.38      |
| 587.2               | 1.659           | 1.660      | 1.657      | 1.659           | 4.397      | 4.402      | 4.386           | 4.395      | 106.29     | 106.26          | 106.28     | 106.28     |
| 693.8               | 1.219           | 1.224      | 1.226      | 1.223           | 1.720      | 1.756      | 1.769           | 1.748      | 121.76     | 121.73          | 121.66     | 121.72     |
| 779.4               | 0.960           | 0.962      | 0.958      | 0.960           | -0.355     | -0.336     | -0.373          | -0.355     | 130.10     | 130.07          | 130.06     | 130.08     |
| 871.2               | 0.741           | 0.742      | 0.744      | 0.742           | -2.604     | -2.592     | -2.588          | -2.588     | 136.81     | 136.72          | 136.78     | 136.81     |
| 997.3               | 0.583           | 0.583      | 0.583      | 0.583           | -4.687     | -4.687     | -4.687          | -4.687     | 142.47     | 142.24          | 142.51     | 142.41     |
| 1991.0              | 0.135           | 0.136      | 0.136      | 0.136           | -17.393    | -17.266    | -17.329         | -17.329    | 165.40     | 165.40          | 165.11     | 165.30     |
| 2498.0              | 0.082           | 0.083      | 0.082      | 0.082           | -21.724    | -21.618    | -21.724         | -21.689    | 168.48     | 168.48          | 168.76     | 168.67     |

หมายเหตุ ค่าว่างเพียงส่วนหนึ่งเท่านั้นที่มีตัวเลขบวกกันไม่ได้เป็นตัวอักษร

ออกแบบคันข้าเข้าใน s-plane ของวงจร second order low pass filter ทางไก่จาก



$$\frac{V_o(s)}{V_i(s)} = \frac{K}{s^2 + as + b} \quad (5.4)$$

จากสมการที่ (5.4) เราจะได้สมการของอัตราขยายเป็น

$$\text{อัตราขยาย} = \frac{K}{\sqrt{(b-w^2)^2 + a^2 w^2}} \quad (5.5)$$

โดย  $w$  เป็นความถี่เชิงมุม

จากค่าอัตราขยายที่มีความถูกต้องเครื่องวิเคราะห์วงจรแบบคิดที่มีความถี่ 341.7, 492.5 และ 779.4 เอิร์ท แทนค่าลงในสมการ (5.5) เพื่อหาค่า  $K, a$  และ  $b$  ให้เป็น

$$K = 20378972$$

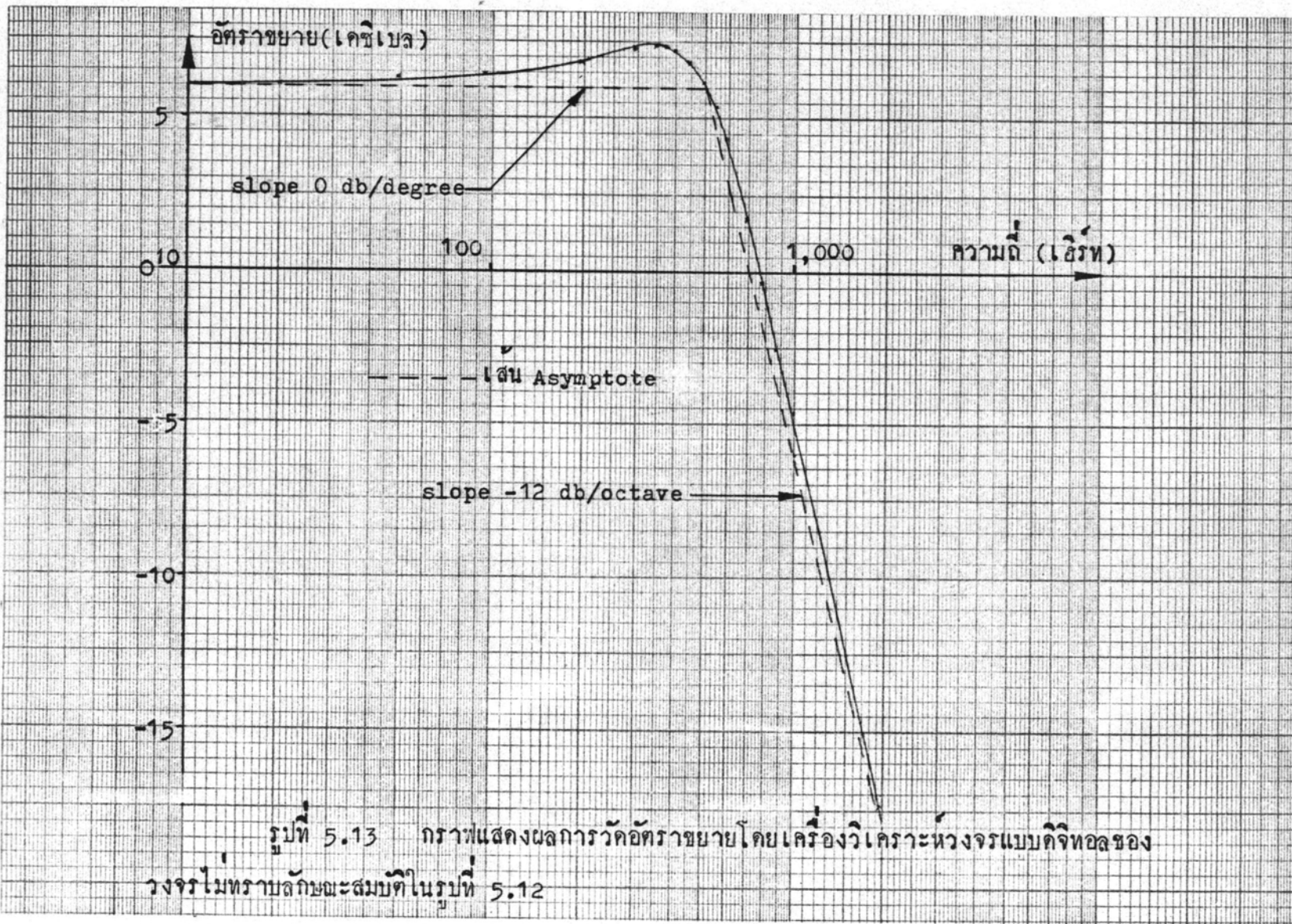
$$a = 3122.83$$

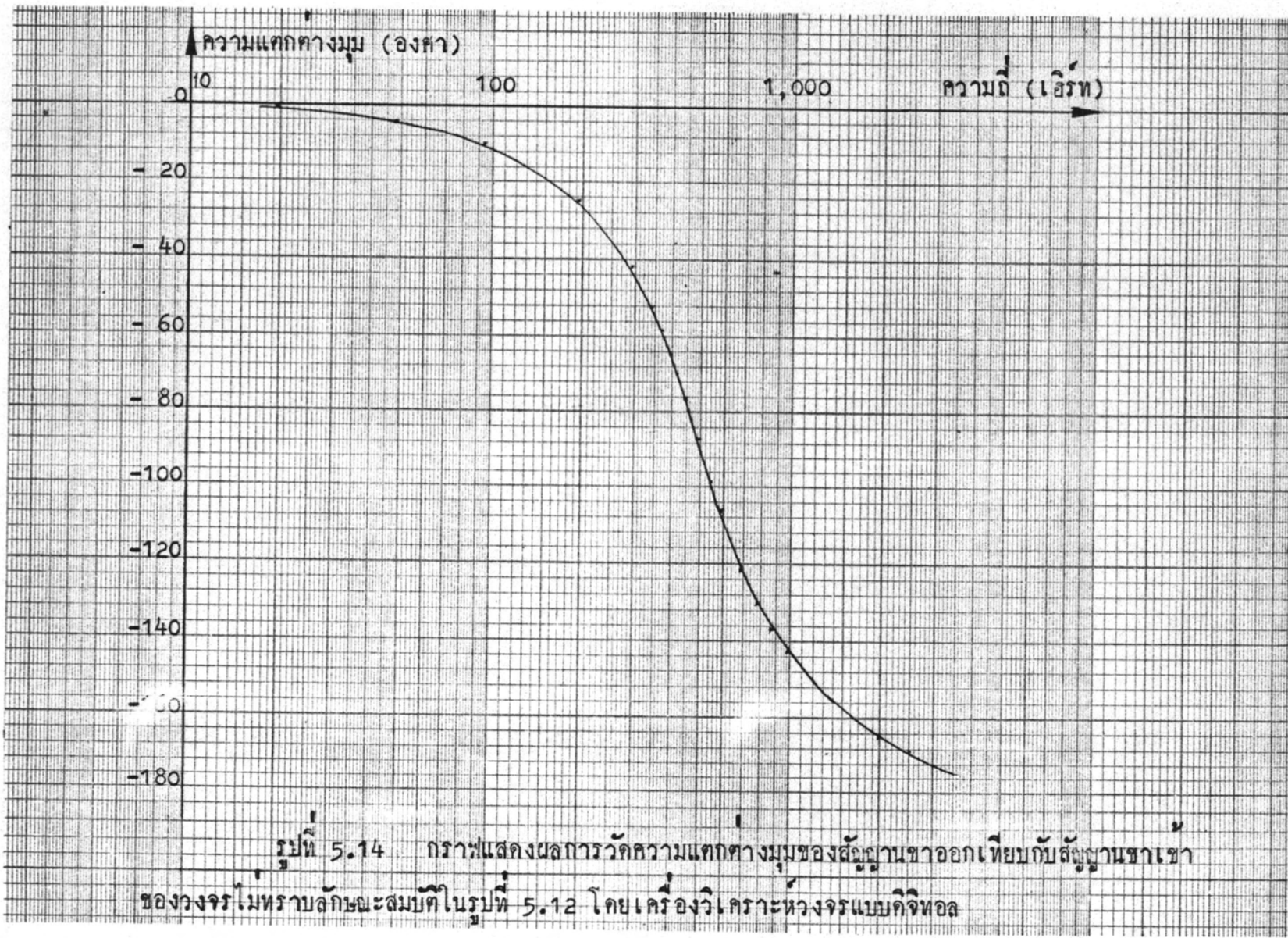
$$b = 10272915$$

แทนค่าลงในสมการ (5.4) จะได้ว่า

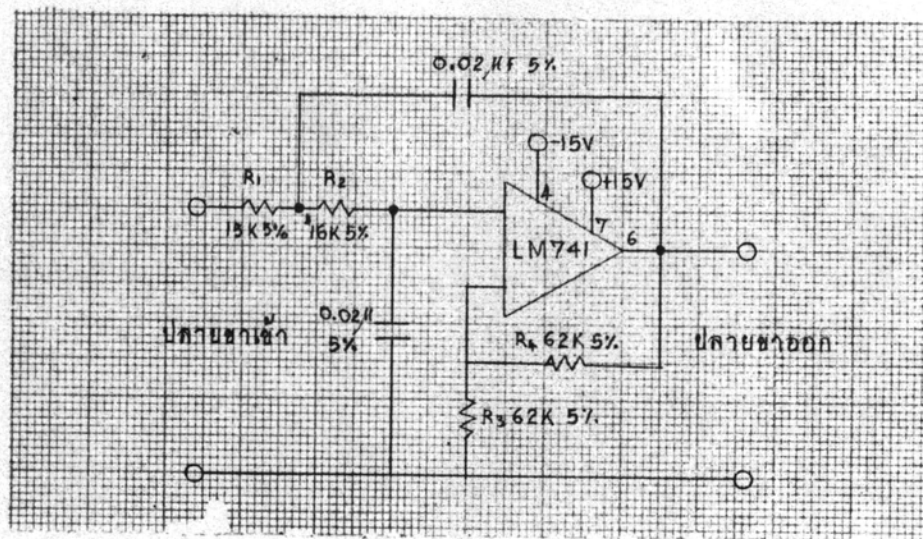
$$\frac{V_o(s)}{V_i(s)} = \frac{20378972}{s^2 + 3122.83s + 10272915} \quad (5.6)$$

หลังจากตรวจสอบโครงสร้างภายในของวงจรสองหน้าในรูปที่ 5.12 เราได้ วงจรเป็นวงจร Second order low pass chebyshev filter คังแสคงในรูปที่





5.15 จากสมการที่ (5.4) ค่าคงที่  $K, a$  และ  $b$  ของวงจร second order low pass Chebyshev filter หาได้จาก<sup>(6)</sup>



รูปที่ 5.15 วงจร Second order low pass Chebyshev filter  
ซึ่งเป็นวงจรสอง ทำในรูปที่ 5.12

$$K = \frac{\mu}{R_1 R_2 C C_1} \quad (5.7)$$

$$a = \frac{1}{R_2 C_1} (1 - \mu) + \frac{1}{R_1 C} + \frac{1}{R_2 C} \quad (5.8)$$

$$b = \frac{1}{R_1 R_2 C C_1} \quad (5.9)$$

$$\mu = 1 - \frac{R_4}{R_3} \quad (5.10)$$

จากค่า  $R_1, R_2, R_3, R_4, C_1$  และ  $C$  ในรูปที่ 5.15 แทนลงในสมการ  
(5.7), (5.8), (5.9) และ (5.10) จะได้ว่า

$$K = 20833333$$

$$a = 3333.33$$

$$b = 10416667$$

แทนค่า  $K, a$  และ  $b$  ลงในสมการที่ (5.4) จะได้ว่า

$$\frac{V_o(s)}{V_i(s)} = \frac{20833333}{s^2 + 3333.33s + 10416667}$$

จะเห็นได้ว่าผลการวิเคราะห์จากผลการวัดโดยเครื่องวิเคราะห์ห้องจริงแบบ  
คิจ chol-ไอล์ เคียงกับความเป็นจริง

### 5.5 สรุปผลการทดลอง

จากการทดสอบเครื่องวิเคราะห์ห้องจริงแบบคิจ chol ที่ได้ออกแบบและสร้างขึ้นนี้  
จะเห็นได้ว่าเครื่องวิเคราะห์ห้องจริงแบบคิจ chol สามารถวัดอัตราขยายและความแก้ทางมุมได้  
ผลลัพธ์เป็นตัวเลขโดยตรง และให้ความแม่นยำของข้อมูลที่จะนำไปใช้วิเคราะห์ห้องจริงไฟฟ้า  
ทั่วๆไปที่เชื่อถือได้ จากการทดสอบห้องจริงอย่างทั่วๆไปของเครื่องชี้วัดค่าในบทที่ 4 จะเห็น  
ได้ว่าวัดอัตราขยายที่เป็นวงจรทางคิจ chol ทั่วๆไป ดูถูกของแนวอนุร่วง ดูถูกของความผิดเพลา  
บ้างเล็กน้อย เรายกตัวอย่างเครื่องวิเคราะห์ห้องจริงที่ทำงานผิดเพลาคันนั้น เนื่องมาจากผลของวงจรอนุ  
ลอกแบบทั้งสิ้น

ความผิดเพลาในการวัดอัตราขยายเกิดขึ้นมากเมื่อสัญญาณขาเข้าอันหนึ่งอันใด  
มีขนาดเล็กมาก ในการทดสอบเครื่องฯโดยการวัดอัตราขยายของวงจร RC filter จะ  
เห็นได้ว่าที่อัตราขยายใกล้ zero เครดิตเบล มีความผิดเพลามาก ทั้งนี้เนื่องจากผลของความ  
ทวนทานขาเข้าของเครื่องฯ ไม่มากพอ ส่วนความผิดเพลาของผลการวัดความแก้ทางมุมเกิด<sup>ขึ้น</sup>  
มากที่ความถี่ของสัญญาณขาเข้าสูงๆ และเนื่องจากของสัญญาณขาเข้าอันใดอันหนึ่งเล็กมาก

ทั้งนี้เพื่อระสูญเสียเข้ามีความถี่สูงๆ จะทำให้จำนวนลูกกลิ้นของสัญญาณความถี่ 5 เมกะ เฮิร์ต ที่ผ่านเข้าสู่วงจรนับในเวลาเดียวกันของความถี่ของสัญญาณเข้ามีจำนวนน้อย ทำให้ ความแม่นยำลดลง และที่สัญญาณเข้ามีขนาดต่ำ การทำงานของทัวเบรย์มเทียบจุดผ่านระ คันคุณ์ของสัญญาณไม่คือเท่าที่ควร

จากการทดสอบคุณสมบัติต่างๆ ของเครื่องวิเคราะห์วงจรแบบคิจิ Hod ที่ได้ออก แบบและสร้างขึ้นพอดูคุณสมบัติได้ดังนี้

ความผิดพลาดในการวัดอัตราขยายอย่างกว่า 1 เปอร์เซ็นต์

ความผิดพลาดในการวัดความแทกทางมุมอย่างกว่า 0.8 องศา

ความทันทันของเข้าปะรำม 800 กิโลโหร์ดของ

แทนความถี่ที่ใช้งาน 10-10,000 เฮิร์ต

ความแทกทางของขนาดของสัญญาณเข้าอย่างกว่า ± 20 เกชิเบล

เวลาที่ใช้ในการวัดแต่ละครั้ง 10-25 วินาที

แรงดันของแหล่งจ่ายไฟฟ้ากระแสสลับ 220 โวลต์

กำลังงานสูญเสีย 80 วัตต์

การซักความสามารถและความผิดพลาดทางต่างๆ ของเครื่องที่ได้สร้างขึ้นส่วนใหญ่ถูก กำหนดโดยวงจรแบบบิฟเฟอร์ทางค้านเข้าของเครื่องฯ และวงจรเอชทูคิวอนเวิร์น เหอร์ ดังนั้นถ้าเราสามารถทำให้วงจรทั้งสองมีคุณสมบัติใกล้เคียงกับอุปกรณ์มากขึ้นจะทำให้ เครื่องวิเคราะห์วงจรที่ได้ออกแบบมานี้มีคุณสมบัติต่างๆ ดีขึ้น

เครื่องวิเคราะห์วงจรแบบคิจิ Hod ที่ได้ออกแบบและสร้างขึ้นในการท่าวิจัยนี้ใน ผลเป็นที่น่าพอใจ ถ้าหากได้รับการปรับปรุงให้ดีขึ้นจะทำให้เครื่องมีที่มีประสิทธิภาพมาก แม้จะมีข้อเสียเนื่องจากการทำงานลากๆ ใน การวัดของเครื่องฯ แต่สามารถปรับปรุงโดยใช้ หลักการอันเดิมให้มีความเร็วในการทำงานสูง ข้อเสนอแนะในการปรับปรุงจะได้กล่าวในหัว ข้อตอนไป

## 5.6 ข้อเสนอแนะ

จากผลการวิจัยนี้ผู้ที่วิจัยได้ขอเสนอแนะความคิดเห็นสำหรับผู้ที่สนใจในการวิจัยนี้ ดังท่อไปนี้

5.6.1 เนื่องจากการวัดแต่ละครั้งจะใช้เวลาประมาณ 15 ถึง 25 วินาที ซึ่งช้ามาก ถ้าต้องการทำให้เครื่องมีความเร็วในการวัดสูงขึ้น จะต้องเปลี่ยนไขว์ที่ทำหน้าที่เป็นตัวค่านวนให้ใช้เวลาในการรับข้อมูลและค่านวนอย่างถูกต้อง การวัดสูงมากๆ ควรจะเปลี่ยนวิธีการค่านวนโดยใช้แคลคูลเลทอร์ชิพ ไปเป็นการค่านวนค่าโดยใช้หลักการของเลขในระบบเลขฐานสองและใช้ ROM มาทำหน้าที่เปลี่ยนค่าลอกของการหั่มแทนโดยวิธีนี้จะทำให้ความเร็วในการวัดของเครื่องขึ้นกับความเร็วในการทำงานของวงจรเอทีก่อนเวิร์ทธอร์เท่านั้น

5.6.2 ใน การวัดอัตราขยายจะเห็นได้ว่าความผิดพลาดเกิดจากความไม่สมมาตรของวงจร เอชทีคิก้อนเวิร์ทธอร์ทั้งสองชุด และวงจรเอทีคิก้อนเวิร์ทธอร์ทั้งสองชุด ดังนั้นถ้าเราใช้ระบบแบ่งเวลาการทำงาน (Time sharing) โดยใช้วงจรทั้งสองอย่างลະหนึ่งชุด และวัดสัญญาณขาเข้าที่ลະอันจะทำให้ลดผิดพลาดในการวัดลง

5.6.3 ใน การวัดความแตกต่างมุมถ้าใช้สัญญาณความถี่คงที่สูงกว่า 5 จะทำให้มีความแม่นยำมากขึ้น และถ้าสามารถทำให้ตัวเปรียบเทียบมีอัตราขยายในชุดเดียว และใช้เวลาในการเปรียบเทียบน้อยลงจะทำให้ความแม่นยำในการวัดความแตกต่างมุมสูงขึ้น

5.6.4 จากที่กล่าวในหัวข้อ 5.6.2 และ 5.6.3 ถ้าเราสร้างวงจรเอชทีคิก้อนเวิร์ทธอร์ ตัวเปรียบเทียบและวงจรแอมป์ลิฟายเออร์ทางปลายขาเข้าให้มีความใกล้เคียงกันมากขึ้นจะทำให้ข้อความสามารถและความแม่นยำสูงขึ้นกว่า

5.6.5 ถ้าใช้ในรีโกรไฟรเซอร์ทำหน้าที่ควบคุมและค่านวนในเครื่องฯ แทนการใช้วงจรคิจหอดและแคลคูลเลทอร์ชิพแบบธรรมดา จะทำให้การทำงานของเครื่องฯ รวดเร็วขึ้น และยังสามารถคัดแปลงเครื่องฯ ให้ใช้วัดໄค์หล่ายอย่างขึ้น เช่น วัดเพาเวอร์-แฟคเตอร์ และวัดกำลังงานสูญเสียเป็นทัน โดยเพียงเปลี่ยนโปรแกรมการทำงานเท่านั้น